

实验技术综述

电子通道花样的几何测量和解释

廖乾初 蓝芬兰

(冶金工业部钢铁研究总院)

在扫描电镜中，应用电子通道效应所产生的花样称为电子通道花样（简写为 ECP）。作为 ECP 的应用和分析基础，首先必须对 ECP 进行几何测量和结晶学注释。本文作为 1982 年第 11 卷第 12 期《物理》讲座栏内“电子通道效应及其应用”^[1]一文在实验方法上的补充，以便对这个专门的问题进行系统的阐述。

一、ECP 的成象几何关系

在文献 [1] 中曾系统地阐述了 ECP 的成象几何关系的特点。根据这些特点，并引入等效投射距离 R 这个参数，则可以画出 ECP 的

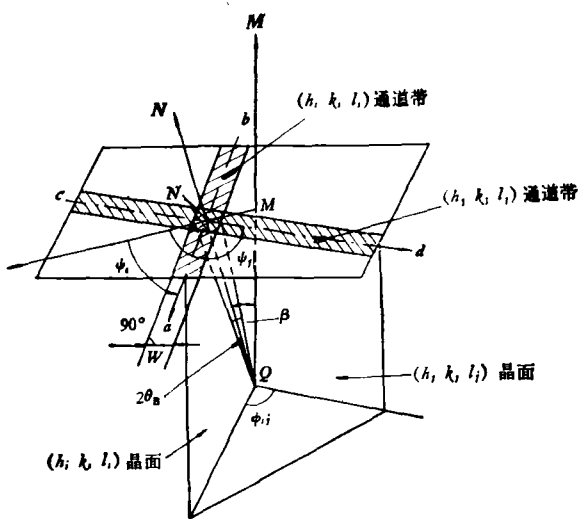


图 1 ECP 成象的等效几何关系

N —晶带轴 \overline{QN} 的单位矢量； N —晶带轴与成象平面的交点(简称为晶带轴极点)； M —镜筒光轴(或投射轴)的单位矢量； M —光轴(或投射轴)与成象平面的交点(简称为投射原点)； β — N 与 M 之间的夹角； $\overline{QM} = R$ ，即等效投射距离； ϕ —通道带轴线和 \overline{MN} 夹角； $\overline{MN} = R \tan \beta$

物理

成象等效几何关系，如图 1 所示。

在图 1 中，两个相交的电子通道带依次属于 (h, k, l_i) 晶面和 (h, k, l_j) 晶面，这两个晶面的晶带轴为 \overline{QN} ，它并不平行于光轴 \overline{QM} 。并且 (h, k, l_i) 电子通道带的轴线【它定义为 (hkl) 晶面和成象平面相交之迹】为 ab ； (h, k, l_j) 电子通道带的轴线为 cd ，其它符号意义见图 1。

根据图 1 的等效几何关系，可以证明：

1. 每个 (hkl) 电子通道带的中心线近似与轴线的位置重合^[2]；

2. 如果从 M 点到垂直于电子通道带轴线的位置去测量带宽 W ，则 W 和布喇格角 θ_B 间有如下关系存在^[2]：

$$W = \left\{ \frac{[(R^2 + R^2 \tan^2 \beta \sin^2 \phi)^{1/2} (1 - \sin^2 \beta \cos^2 \phi)^{1/2}]}{\cos \beta} \right\} \times 2\theta_B, \quad (1)$$

式中符号意义见图 1。

3. 两相交电子通道带间夹角 Φ_{ij} 和相应的晶面夹角 ϕ_{ij} 间有如下关系^[3]：

$$\cos \phi_{ij} = \frac{\cos(\phi_i - \phi_j) - \sin^2 \beta \cos \phi_i \cos \phi_j}{\sqrt{1 - \sin^2 \beta \cos^2 \phi_i} \sqrt{1 - \sin^2 \beta \cos^2 \phi_j}}, \quad (2)$$

式中 Φ_{ij} 为两电子通道带间夹角， $\Phi_{ij} = \phi_i - \phi_j$ ； ϕ_i 为 (h, k, l_i) 通道带的轴线和 \overline{MN} 夹角； ϕ_j 为 (h, k, l_j) 通道带的轴线和 \overline{MN} 夹角。

因此，如果从(1)式和(2)式的定量关系出发，则涉及到的几何参数有：投射原点的位置 M 、晶带轴极点的位置 N 、等效投射距离 R 、电子通道带的宽度 W 和电子通道带间的角度如 ϕ_i ， ϕ_j 等。下面，我们将系统地说明上述几何

参数的测量方法和应注意事项。

二、ECP 的几何测量

1. 投射原点位置的确定

当扫描线圈的电流等于零, 则扫描电子束变成静止入射的电子束。此时, 电子束的入射方向和投射轴重合。根据这个原则, 可以采取依次截断帧扫描和行扫描电源的办法, 在显象管的荧光屏上依次获得单根水平扫描线 xx' 和垂直扫描线 yy' , 其交点 O 即为投射原点, 见图 2。

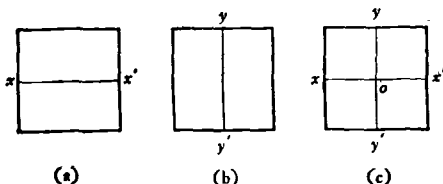


图 2

(a) 帧扫描电源截断后的行扫描线; (b) 行扫描电源截断后的帧扫描线; (c) 把 (a)(b) 叠加在一起而确定投射原点位置

2. 晶带轴极点位置的确定

由于每一电子通道带的中心线是代表所属晶面和成象平面交截之迹, 因此, 一晶带轴所属的任意两通道带中心线的交点, 即为该晶带的晶带轴极点。

3. 等效投射距离的确定

等效投射距离 R 本身是一个与工作距离 D 和电子束加速单压 V 有关的函数, 因此, 从实验上确定 R 时, 应当测量在不同 V 和 D 条件下 R 的值, 制成工作曲线, 以备查用。

关于从实验上确定 R 的方法, 通常是采用一块 $\langle 111 \rangle$ 位向的完整硅单晶体, 放在一个经过准确校正过的测角试样台上, 在某一规定加速电压和工作距离的工作条件下, 按正常方法获得电子通道花样后, 调节测角试样台, 使 $\langle 111 \rangle$ 晶带轴的极点和投射原点重合, 并使 $\langle 660 \rangle$ 通道带平行于荧光屏的 x 轴(即水平方向), 测量 $\langle 660 \rangle$ 通道带宽 W_0 。再调节测角试样台, 使硅

单晶绕 x 轴转一任意角度 β (一般不超过 2°), 测量此时 $\langle 660 \rangle$ 带的带宽 W 和晶带轴极点到投射原点的距离 MN , 如图 3 所示:

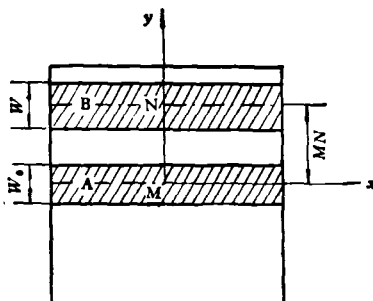


图 3 应用测角试样台和标准硅单晶法确定 R

(a) 起始态时 $\langle 660 \rangle$ 通道带的位置; (b) 绕 x 轴转 β 角后 $\langle 660 \rangle$ 通道带的位置

在图 3 (a) 的情况下, $\beta = 0^\circ$, $\phi = 90^\circ$, 则(1)式可以简化为

$$W_0 = R \cdot 2\theta_{660}. \quad (3)$$

在图 3 (b) 的情况下, $\beta \neq 0^\circ$, $\phi = 90^\circ$, 则(1)式可以简化为

$$W = \frac{R^2 + MN^2}{R} \cdot 2\theta_{660}, \quad (4)$$

式中 $MN = R \tan \beta$ (见图 1)。

联立求解(3)式和(4)式, 可以得到

$$R = MN \sqrt{W_0 / (W - W_0)}. \quad (5)$$

因为 θ_{660} 的值是已知 (参看表 1, $\theta_{660} = 3\theta_{220}$), MN , W_0 和 W 均可以从硅单晶的电子通道花样中测得, 故可用(4)式或(5)式去确定 R 的值。

表 1 硅单晶的晶面指数和布喇格角的关系

反射指数	2 θ_B (度)			
	30kV	20kV	10kV	5kV
111	1.26	1.58	2.22	3.16
220	2.06	2.56	3.64	5.16
311	2.44	3.00	4.26	6.06
400	2.96	3.64	5.16	7.32

采用(5)式的优点是 R 同布喇格角无关, 相应地不要求准确地知道电子束的加速电压。

由一系列的 V 和 D 值测得 R 值后，就可以画出 R 对 V 和 D 的关系曲线如图 4 所示。应用此工作曲线，就不难找出任何 V, D 条件下的 R 值。

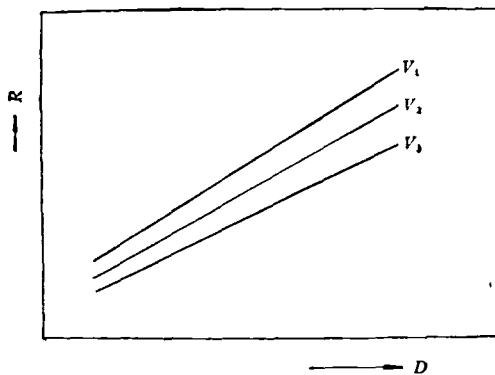


图 4 实验测得 R 对 V 和 D 的关系
($V_1 > V_2 > V_3$)

4. 电子通道带宽度的测量问题

从电子通道花样去确定通道带的宽度时，要注意下面两个事实：

(1) 电子通道带并不是一个严格平行宽度的带，而是一个稍呈曲率的带。因此，在测量某一通道带的带宽时，应当从 M 点到垂直于电子通道带轴线的位置上去测量，才能代入(1)式中去计算布喇格角的值；

(2) 电子通道带两边缘本身也具有一定的宽度，如图 5 所示，建议从相对亮度等于 $1/2$ 的

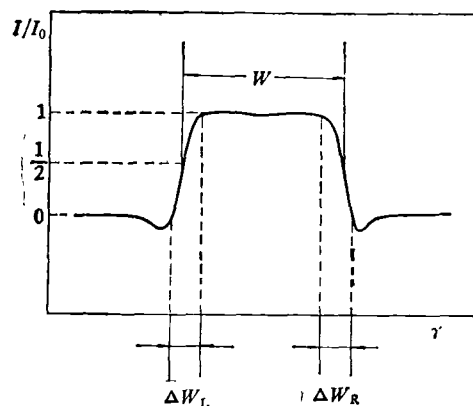


图 5 电子通道带的边缘宽度
(ΔW_L 和 ΔW_R 分别为左右边缘宽度； I/I_0 为相对强度； r' 为扫描角范围)

位置去确定 W 的值。

实验表明，所属晶面指数愈大的电子通道带，其边缘宽度就愈小，相应地，确定其真实带宽也愈准确。

一般地说，如果由扫描电镜本身的扫描发生器非线性所引起象的畸变可以忽略，则测量 W 的准确度估计可在 $\pm 0.5\text{mm}$ 范围以内。

5. 电子通道带间夹角的测量问题

为了从电子通道带间夹角几何关系去推算所属晶面的夹角关系，首先必须测量每一通道带的中心线和 MN 间的夹角 ϕ ，才能应用(2)式进行计算。

从图 1 的等效几何关系可以看出： MN 矢量约定是从 M 往 N ，并且 A 矢量、 C 矢量和 N 矢量间构成右手螺旋关系。因此，当测量 ϕ 时，应统一以 MN 为基准线，从逆时针方向对每一电子通道带的中心线量取 ϕ 值。如测量方向错误，则将会导致错误的计算结果。

一般地说，测量 ϕ 的误差主要来源于显象管的象畸变。但在扫描电镜中，一般象畸变很小，且可以采用透射电镜的标准方格网（常用 200 筛孔的标准格网）进行检查和校正。因此，只要仔细测量，则测量 ϕ 的准确度估计在 $\pm 0.5^\circ$ 范围以内。

三、ECP 的结晶学注释

作为对 ECP 的分析和应用基础，首先必须对 ECP 进行结晶学注释，即标出属于每一通道带的晶面指数（或反射指数）。目前有三类方法，即比较法、解析法和相似性原理分析法，下面分别介绍这三种方法的要点。

1. 比较法^[4]

比较法的注释原理是：同类晶体结构的 ECP，在相同位向下其电子通道花样的几何分布规律是完全相同的。为了应用比较法，首先必须从实验上（或理论上）制备各类晶体结构的标准电子通道图（它是由一系列已知位向晶体所得到的电子通道花样，按严格的几何位向关系拼成一个赤面投影三角形图^[5]）。

如果各种晶体结构的标准电子通道图已经预先制备好，就可以把分析试样得到的电子通道花样同标准图比较，从而直接标出被分析的电子通道花样中每一通道带所属晶面指数。

在实际应用过程中，从分析试样所获得的电子通道花样往往很不完整，使得它同相应的标准电子通道图进行几何分析比较时发生困难。在这种情况下，可以采取如下条件来获得被分析试样的电子通道花样：

$$V_s = \left(\frac{a_N}{a_s}\right)^2 V_N, \quad (6)$$

式中 a_N 为制备标准电子通道图所用晶体的晶格常数， V_N 为制备标准电子通道图时所用的电子束加速电压， a_s 为被分析试样的晶格常数， V_s 为观察被分析试样的电子通道花样时所用的加速电压。

测量被分析电子通道花样中各通道带的带宽，并同相应的标准电子通道图比较。如果它和标准电子通道图中某一通道带的宽度相等，则它们两者间将具有相同的晶面指数。

2. 解析法^[6]

表 2 标志 Mo 晶体的 ECP 的 (hkl) 的步骤(示例)

通道带	$h^2 + k^2 + l^2$		可能晶面指数 (hkl)	电子通道带间夹角 Φ			标定的晶面指数 (hkl)
	计算结果	最近整数		A	B	C	
A	5.65	6	112		155°		211
B	9.55	10	310			59°	310
C	5.65	6	112	146°			121

3. 相似性原理分析法

在实际应用中，由于比较法和解析法都存在一定的局限性，故近年来又发展了一种所谓相似性原理分析法^[6]。这种注释方法的原理是：既然同类晶体结构的 ECP 的几何分布规律完全相同，则在数学上可以用两个特征量来描述。系统分析结果表明，最合适的两个特征量是：两个相交的电子通道带间夹角 Φ 及其带宽比值 K 。如果对被分析的电子通道花样，测量其任意两个相交的电子通道带的 (K, Φ) 值，就可以用查标准数据表的方法，注释出相应这

解析法的注释原理是：根据电子通道花样的几何测量数据（如电子通道带宽度 W 等）去计算布喇格角。再应用布喇格公式换算成相应的晶面间距 d ，然后参考由电子通道带间夹角推算得到的晶面夹角关系，通过验证或分析计算，最后算出每一通道带所属晶面的晶面指数（或反射指数）。

如果直接测量的几何量是通道带的宽度 W ，则由(1)式和布喇格公式，可以得到

$$d = (12.236/\sqrt{V})[(R^2 + R^2 \tan^2 \beta \sin^2 \psi)^{1/2} \times (1 - \sin^2 \beta \cos^2 \psi)^{1/2}] / (W \cos \beta), \quad (7)$$

式中 V 为观察电子通道花样时所采用的电子的加速电压，单位是伏， d 为带宽等于 W 的电子通道带所属晶面的晶面间距。

如果被分析晶体属于立方晶系，则晶面指数 (hkl) 和晶面间距 d 间有如下简单关系：

$$d = a / \sqrt{h^2 + k^2 + l^2}, \quad (8)$$

式中 a 为被分析晶体的晶格常数。

因为 a ， V 和 R 均已知，故对电子通道花样进行几何测量，就可以通过(7)式和(8)式去求出 (hkl) 。其分析步骤如表 2 所示：

两个电子通道带的晶面指数。实际应用和误差分析表明，用这种方法得到的注释结果是唯一的。

同上述两种注释方法比较，这种方法具有如下优点：(1)注释方法简单，速度快，而且结果是唯一的；(2)不需要知道电子束的加速电压 V 和等效投射距离 R ；(3)对于立方晶系，即使不知道被分析晶体的晶格常数，也能进行结晶学注释；(4)适用于电子通道花样极不完整的情况。只要有一对相交的电子通道带出现，就可以进行结晶学的注释。

基于上述，相似性原理分析法是一种普遍适用的快速注释方法。

四、位向关系分析

ECP 分析技术最基本应用之一是分析晶体位向的关系。因为 ECP 成象的等效几何关系也符合极射赤面投影关系，故分析方法比较简单。为了分析方便起见，通常令被分析晶体的表面垂直于扫描电镜的光轴。在这种条件下，在 ECP 中的投射轴极点就是被分析晶体表面法线的极点。如果 ECP 已经进行了结晶学注释，就可以确定被分析表面的结晶位向。

从 ECP 去分析晶体位向的方法如图 6 所示，共存在两种情况：

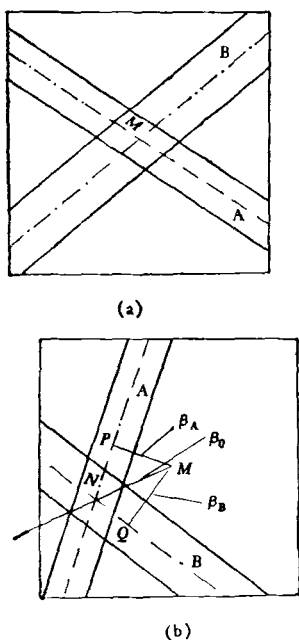


图 6 从 ECP 去分析晶体的位向
(a) 晶带轴平行于光轴的情况；(b) 晶带轴不平行于光轴的情况

(1) 如果两相交电子通道带所属晶带轴的极点和投射原点重合[图 6(a)]，则晶带轴方向 $[u : v : w]$ 即代表被分析晶体表面的法线的结晶方向，并有如下关系存在：

物理

$$u : v : w = \begin{vmatrix} k_1 & l_1 \\ k_2 & l_2 \end{vmatrix} : \begin{vmatrix} l_1 & h_1 \\ l_2 & h_2 \end{vmatrix} : \begin{vmatrix} h_1 & k_1 \\ h_2 & k_2 \end{vmatrix}, \quad (9)$$

式中 $(h_1 k_1 l_1)$ 为 A 电子通道带所属晶面指数； $(h_2 k_2 l_2)$ 为 B 电子通道带所属晶面指数。

(2) 如果两相交电子通道带所属晶带轴的极点和投射原点不重合[图 6(b)]，则作 \overline{MP} 垂直于 A 通道带的轴线而相交于 P 点， \overline{MQ} 垂直于 B 通道带的轴线而相交于 Q 点。因为在极射赤面投影图中，晶面之迹和其极点间有 90° 关系存在。如果被分析晶体表面法线的方向余弦为 (A, B, C) ，则 (A, B, C) 可以用如下关系来确定：

$$\left\{ \begin{array}{l} Ah_1 + Bk_1 + Cl_1 = \sqrt{h_1^2 + k_1^2 + l_1^2} \\ \times \cos(90^\circ - \beta_A), \\ Ah_2 + Bk_2 + Cl_2 = \sqrt{h_2^2 + k_2^2 + l_2^2} \\ \times \cos(90^\circ - \beta_B), \\ Au + Bv + Cw = \sqrt{u^2 + v^2 + w^2} \\ \times \cos \beta_0, \end{array} \right. \quad (10)$$

其中（参看图 1 几何关系） $\cos \beta_0 = \overline{MN}/R$ ； $\cos \beta_A = \overline{MP}/R$ ； $\cos \beta_B = \overline{MQ}/R$ ； R 为等效投射距离；其它符号意义和(9)式相同。

解联立方程(10)式，就可以求出 (A, B, C) ，然后把 (A, B, C) 化为三个互质整数 (x, y, z) ， (x, y, z) 就是被分析表面晶体的结晶方向。

如果将上述方法应用到多晶体中，把每个

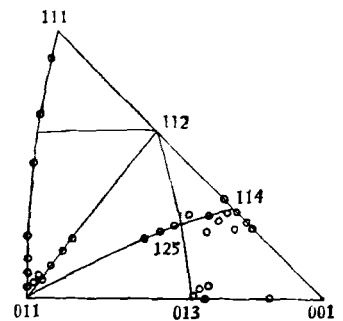


图 7 冷轧后经过退火的 Pb-Sn 合金的晶粒位向分布
(用 ECP 技术测定)

(下转第 723 页)